



جمهورية العراق

وزارة التعليم العالي والبحث العلمي

جامعة القادسية

كلية التربية / قسم الفيزياء

دراسة تأثير الشكل الهندسي لقطب الكاثود على خواص  
بلازما التفريغ المتوهج

رسالة مقدمة

الى مجلس كلية التربية / جامعة القادسية

وهي جزء من متطلبات نيل درجة الماجستير علوم في الفيزياء

من قبل الطالب

وسام محمود طاهر

بكالوريوس علوم فيزياء (2000)

كلية التربية (ابن الهيثم) / جامعة بغداد

أشرف

ا.م.د. عبد الحسين عباس خضير

٢٠١٨م

٥١٤٤٠هـ

بِسْمِ اللَّهِ الرَّحْمَنِ الرَّحِيمِ

﴿هُوَ الَّذِي بَعَثَ فِي الْأُمِّيِّينَ رَسُولًا مِنْهُمْ يَتْلُو

عَلَيْهِمْ آيَاتِهِ وَيُزَكِّيهِمْ وَيُعَلِّمُهُمُ الْكِتَابَ وَالْحِكْمَةَ

وَإِنْ كَانُوا مِنْ قَبْلُ لَفِي ضَلَالٍ مُبِينٍ ﴿﴾ [الجمعة: ٣]

صدق الله العظيم

## الإهداء

( بسم الله الرحمن الرحيم )

قل عملوا فسيري الله عملكم ورسوله والمؤمنون

( صدق الله العظيم )

الهي لا يطيب الليل إلا بشرك ولا يطيب النهار إلا بطاعتك.. ولأطيب  
اللحظات إلا بذكرك.. ولا تطيب الآخرة إلا بعفوك.. ولا تطيب الجنة إلا برويتك  
"الله جل جلاله"

إلى من بلغ الرسالة وأدى الأمانة.. ونصح الأمة.. إلى نبي الرحمة ونور العالمين  
"سيدنا محمد صلى الله عليه وآله وسلم"

إلى من يرحمني الله بسبب رضاها... والدتي

إلى مصدر قوتي والهامي... زوجتي

إلى زهور الحياة ورياحيين فؤادي... أبو الفضل ومنار وملاك ولجين وأحمد

إلى من شد الله بهم أزرى... اخوتي واخواتي

إلى كل من ودني ولو للحظة.

إلى كل من أفادني ولو بلفظة.

## شكر وتقدير

"عن عالما .. فإن لو تستطع فكن متعلما، فإن لو تستطع فأحب العلماء، فإن لو تستطع فلا تبغضم"

الحمد لله رب العالمين والصلاة والسلام على سيدنا محمد وعلى اله الطيبين الطاهرين وصحابه الغر  
الميامين.

أما بعد.

فلا يسعني بعد شكر الله تعالى على اتمام هذا البحث. الا ان اقدم جزيل شكري وامتناني الى المشرف  
الفاضل الدكتور "محمد الحسين عباس خضير" لاقتراحه موضوع البحث ونطاقه القيمة وتوجيهاته  
المستمرة في سبيل انجاح هذا البحث طوال مدة العمل واعداد الرسالة. داعيا الله له دوام الصحة  
والمرفقية

كما اشكر عمادة كلية التربية للعلوم الصرفة ورئيس قسم الفيزياء وجميع اساتذة قسم الفيزياء الفاضلين  
لتعاونهم المستمر طوال مدة البحث.

كما اشكر م. د "احمد حميد وناس" لتعاونهم في انجاز البحث. كما اشكر طلبة الدراسات العليا في  
قسم الفيزياء لتعاونهم ومساندتهم لي.

واقدم شكري الى منتسبي مكتبة كلية العلوم جامعة بغداد لتعاونهم معي في تهينة مصادر البحث.

واخيرا وليس اخرا. اتقدم بشكري وامتناني لكل من اعانني ممن فاتني ذكرهم ....مع الاعتزاز

## توصية المشرف

أشهد أن اعداد هذه الرسالة الموسومة ب(دراسة تأثير الشكل الهندسي لقطب الكاثود على خواص بلازما التفريغ المتوهج)المقدمة من الطالب (وسام محمود طاهر ) قد تمت تحت إشرافنا في قسم الفيزياء/كلية التربية/جامعة القادسية وهي جزء من متطلبات نيل شهادة الماجستير في الفيزياء.

التوقيع:

اسم المشرف : د. عبد الحسين عباس خضير

المرتبة العلمية: استاذ مساعد

العنوان: جامعة القادسية/ كلية التربية

التاريخ: 15 / 5 / 2018

## توصية رئيس قسم الفيزياء

بناءا الى التوصية المقدمة من الاستاذ المشرف احيلت هذه الرسالة الى لجنة المناقشة لدراستها وبيان الرأي فيها.

التوقيع:

الاسم: د. سليم عزاره حسين

المرتبة العلمية: استاذ مساعد

التاريخ: 15 / 5 / 2018



## اقرار المقوم العلمي

اشهد اني راجعت الرسالة الموسومة ب(دراسة تأثير الشكل الهندسي لقطب الكاثود على خواص بلازما التفريغ المتوهج) من الناحية العلمية وصحت ما ورد فيها من أخطاء علمية وبذلك الرسالة مؤهلة للمناقشة.

التوقيع:

اسم المقوم العلمي:

المرتبة العلمية:

التاريخ: / / 2018



## القرار المعلوم التفوي

شهدت أسي راجعت الرسالة الموسومة بدراسة تأثير الشكل الهندسي للقطب الكاثود على خواص  
بالترما التفويج المتوهج) تمت مراجعتها من اللجنة التفوية وتصحيح ما ورد من أخطاء لغوية  
ولغوية وبذلك أصبحت الرسالة مؤهلة للتأليف في الأمر بسلامة الأملوب وصحة التعبير.

التوقيع: 

اسم المعلوم التفوي: أ. د. وسام محمد الهلالي

الدرجة العلمية: أستاذ مساعد

التاريخ: 16/16/2018

## اقرار لجنة المناقشة

نشهد نحن اعضاء لجنة المناقشة، باننا اطلعنا على الرسالة الموسومة (دراسة تأثير الشكل الهندسي لقطب الكاثود على خواص بلازما التفريغ المتوهج) والمقدمة من قبل الطالب (وسام محمود طاهر) في قسم الفيزياء وقد ناقشنا الطالب في محتوياتها وفيما له علاقة بها وذلك بتاريخ: 2018 / 5 / 13 وهو جدير بالقبول لنيل شهادة الماجستير في علوم الفيزياء وبتقدير (أسيار).

رئيس اللجنة

التوقيع:



الاسم: ا. د. رعد شاكر عبيس

المرتبة العلمية: استاذ

التاريخ: 2018 / 9 / 25

عضو اللجنة

التوقيع:




الاسم: ا. م. د قصي عدنان عباس

المرتبة العلمية: استاذ مساعد

التاريخ: 2018 / 5 / 25

عضو اللجنة

التوقيع:



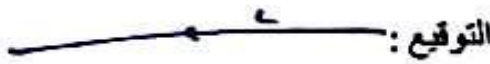
الاسم: ا. د. راشد عويد كاظم

المرتبة العلمية: استاذ

التاريخ: 2018 / 9 / 25

عضو اللجنة (مشرفا)

التوقيع:



الاسم: ا. م. د. عبد الحسين عباس خضير

المرتبة العلمية: استاذ مساعد

التاريخ: 2018 / 9 / 25

مصادقة عمادة كلية التربية

التوقيع:



الاسم: ا. د. خالد جواد كاظم العادلي

المرتبة العلمية: استاذ

المنصب: عميد كلية التربية/جامعة القادسية

التاريخ: 2018 / 6 / 13



## الخلاصة

تم تصميم وبناء منظومة تفريغ تعمل بالتيار المستمر (DC) لتوليد البلازما لغاز النتروجين، إذ استخدم لهذا الغرض حجره أسطوانية من الزجاج الباركس بطول 30cm وقطر 10cm ، وللحصول على التفريغ الكهربائي استخدمنا اقطاب من الالمنيوم، فكان الانود على شكل قرص مستوي بقطر 8.8cm، اما الكاثود فتم تصميمه بهيئة اشكال هندسية مجوفة (اسطواني، مخروطي، قمعي) ذات ابعاد متغيره.

في هذا العمل تم قياس جهد الانهيار لغاز النتروجين ولأبعاد مختلفة ولمدى متغير من الضغوط يتراوح بين 0.065-0.76 torr، وتم تحديد افضل مسافه بين الاقطاب  $d=4\text{cm}$  لغرض استخدامها في ترسيب الأغشية الرقيقة، كما لوحظ ان هناك تغير في جهد الانهيار لغاز النتروجين بتغير الشكل الهندسي للكاثود، حيث كان جهد الانهيار عند استخدام الكاثود المجوف الاسطواني الشكل ذي القطر الداخلي 6,3cm يساوي  $V(250,239)$  على التوالي عند  $(Pd_{min})$  تساوي  $(0.754,0.695 \text{ torr.cm})$ ، وكان جهد الانهيار عند استخدام الكاثود المجوف المخروطي الشكل ذي القطر الداخلي 6,3cm يساوي  $V(237,221)$  على التوالي عند  $(Pd_{min})$  تساوي  $(0.676,0.642) \text{ torr.cm}$ ، اما عند استخدام الكاثود المجوف القمعي الشكل ذي القطر الداخلي 2,1 cm فكان جهد الانهيار  $V(223,202)$  على التوالي عند  $(Pd_{min})$  تساوي  $(0.676,0.631) \text{ torr.cm}$ ، وبهذا فأن نقصان قطر التجويف بثبوت طوله يؤدي الى انخفاض جهد الانهيار للغاز المستخدم.

كما تم دراسة خواص منحنيات التفريغ (I-V)، واطهرت النتائج ان خصائص ( Amp-Volt ) كانت مختلفة باختلاف الشكل الهندسي للكاثود، حيث لوحظ ان نقصان القطر للتجويف بثبوت طوله يزيد من موصلية البلازما، مما يقلل المقاومة. ولدراسة خصائص البلازما (درجة حرارة الالكترونات، كثافة الالكترونات) تم استخدام مطياف الانبعاث الضوئي (OES) ،وقد بينت النتائج ان كل من درجة الحرارة وكثافة الالكترونات لبلازما النتروجين تزداد بزيادة الجهد المسلط لجميع اشكال الكاثود حيث تم تحديد كثافة الالكترونات بحدود  $(1 \times 10^{17} - 9 \times 10^{17}) \text{ cm}^{-3}$  ودرجة حرارة الالكترونات في نطاق  $(0.8-1.3) \text{ ev}$

.كما لوحظ باستخدام التحليل الطيفي للانبعاثات الضوئية ومن خلال شدة الاشعاع المنبعث ،ان  
درجة حرارة الالكترونات تنخفض وكثافة الالكترونات تزداد بزيادة ضغط الغاز

## قائمة المحتويات

| رقم الصفحة | العنوان                                | الفقره      |
|------------|--|-------------|
| 1-14       | المقدمة                                | الفصل الاول |
| 1          | المقدمة                                | (1-1)       |
| 2          | حالة البلازما                          | (2-1)       |
| 3          | تصنيف البلازما حسب درجات الحرارة       | (3-1)       |
| 5          | التفريغ الكهربائي في الغازات           | (4-1)       |
| 5          | مناطق التفريغ الكهربائي                | (5-1)       |
| 6          | مناطق التفريغ المظلم A-E               | (1-5-1)     |
| 6          | منطقة التاين العكسي (الخلفي) A-B       | (1-1-5-1)   |
| 6          | منطقة التفريغ غير المستديم ذاتيا B-C   | (2-1-5-1)   |
| 6          | منطقة تفريغ تاونسند C-E                | (3-1-5-1)   |
| 7          | منطقة التفريغ التوهجي E-H              | (2-5-1)     |
| 7          | التفريغ التوهجي الطبيعي F-G            | (1-2-5-1)   |
| 7          | التفريغ التوهجي غير الطبيعي G-H        | (2-2-5-1)   |
| 7          | التفريغ القوسي H-K                     | (3-5-1)     |
| 8          | مناطق التفريغ المتوهج                  | (6-1)       |
| 8          | طبقة الكاثود                           | (1-6-1)     |
| 9          | الفضاء المظلم للأستون                  | (2-6-1)     |
| 9          | توهج الكاثود                           | (3-6-1)     |
| 9          | الفضاء المظلم للكاثود                  | (4-6-1)     |
| 9          | التوهج السالب                          | (5-6-1)     |
| 10         | الفضاء المظلم لفراداي                  | (6-6-1)     |
| 10         | طبقة الانود                            | (7-6-1)     |
| 10         | العمود الموجب                          | (8-6-1)     |
| 10         | توهج الانود                            | (9-6-1)     |
| 10         | الفضاء المظلم للانود                   | (10-6-1)    |
| 11         | تأثير معلمات التفريغ على مختلف المناطق | (7-1)       |

|       |   |              |
|-------|---|--------------|
| 11    | الضغط   | (1-7-1)      |
| 11    | المسافة بين الكاثود والأنود                   | (2-7-1)      |
| 11    | الفولطية                                      | (3-7-1)      |
| 11    | التيار  | (4-7-1)      |
| 12    | غاز التفريغ                                   | (5-7-1)      |
| 12    | مادة قطب الكاثود                              | (6-7-1)      |
| 12    | الشكل الهندسي للأقطاب                         | (7-7-1)      |
| 12    | خصائص الألمنيوم (Aluminum properties)         | (8-1)        |
| 15    | الدراسات السابقة                              | (9-1)        |
| 20    | الهدف من البحث                                | (10-1)       |
| 21-51 | الجزء النظري                                  | الفصل الثاني |
| 21    | المقدمة                                       | (1-2)        |
| 21    | اللية الانهيار الكهربائي                      | (2-2)        |
| 21    | اللية تاونسند                                 | (1-2-2)      |
| 24    | منحني باشن                                    | (3-2)        |
| 26    | الموصل الكهربائي الغازي                       | (4-2)        |
| 28    | تفريغ الكاثود المجوف                          | (5-2)        |
| 31    | نظرية الكاثود المجوف                          | (1-5-2)      |
| 35    | شروط البلازما                                 | (6-2)        |
| 36    | معلمات البلازما                               | (7-2)        |
| 36    | طول ديبياي                                    | (1-7-2)      |
| 37    | قشرة ديبياي                                   | (2-7-2)      |
| 39    | تردد البلازما                                 | (3-7-2)      |
| 39    | متوسط المسار الحر                             | (4-7-2)      |
| 40    | العمليات الأساسية                             | (8-2)        |
| 40    | انهيار الالكترن                               | (1-8-2)      |
| 41    | انبعاث الالكترن الثانوي                       | (2-8-2)      |
| 43    | طرق تشخيص البلازما                            | (9-2)        |
| 43    | المجس الكهربائي (لانغمور)                     | (1-9-2)      |
| 44    | الوميض المستحث بالليزر (LIF)                  | (2-9-2)      |
| 44    | التداخل بالموجات الدقيقة                      | (3-9-2)      |
| 44    | التحليل الطيفي للبلازما                       | (4-9-2)      |
| 46    | تحديد حرارة الالكترن بالتحليل الطيفي للبلازما | (1-4-9-2)    |
| 49    | قياس كثافة الالكترن                           | (2-4-9-2)    |
| 50-60 | الجزء العملي                                  | الفصل الثالث |
| 50    | المقدمة                                       | (1-3)        |
| 50    | منظومة الفراغ                                 | (2-3)        |



|       |  |              |
|-------|--|--------------|
| 51    | مضخة التفريغ الدوارة   | (3-3)        |
| 52    | اجهزة قياس الضغط   | (4-3)        |
| 53    | اسطوانة غاز النتروجين  | (5-3)        |
| 53    | الصمام الابري  | (6-3)        |
| 53    | انابيب توصيل   | (7-3)        |
| 54    | انبوبة التفريغ   | (8-3)        |
| 54    | شفاه الربط   | (9-3)        |
| 55    | الاقطاب الكهربائية   | (10-3)       |
| 56    | مجهر القدرة  | (11-3)       |
| 56    | المحلل الطيفي للانبعاث البصري                                  | (12-3)       |
| 57    | طريقة التشغيل  | (13-3)       |
| 59-78 | النتائج والمناقشة  | الفصل الرابع |
| 59    | المقدمة  | (1-4)        |
| 59    | قانون باشن   | (2-4)        |
| 63    | الخصائص الكهربائية (I-V)                                       | (3-4)        |
| 71    | حساب درجة حرارة الالكترون باستخدام طريقة النسبة بين شدة الخطين | (4-4)        |
| 77    | الاستنتاجات  | (5-4)        |
| 78    | الدراسات المستقبلية  | (6-4)        |
| 79    | المصادر  |              |

## قائمة الاشكال

| الصفحة | عنوان الشكل  | الرقم        |
|--------|--|--------------|
|        | المقدمة  | الفصل الاول  |
| 5      | مناطق وخصائص التفريغ الكهربائي   | (1-1)        |
| 10     | يمثل مناطق التفريغ الوهاج  | (2-1)        |
|        | الجزء النظري   | الفصل الثاني |
| 22     | يمثل عملية تفريغ الغاز   | (1-2)        |
| 23     | يمثل علاقة التيار مقابل الجهد التي وضعها تاونسند   | (2-2)        |
| 26     | منحنيات باشن المقاسة والمحسوبة لمجموعة من الغازات  | (3-2)        |
| 27     | الكثرون التوصيل في الغاز   | (4-3)        |
| 30     | يبين مراحل تطور التفريغ  | (5-2)        |
| 38     | يمثل تغير الجهد كدالة للمسافة من السطح   | (6-2)        |
|        | الجزء العملي   | الفصل الثالث |
| 50     | يمثل مخطط توضيحي لمنظومة التفريغ الكهربائي التوهجي   | (1-3)        |
| 51     | منظومة التفريغ التوهجي (dc)  | (2-3)        |
| 51     | مضخة التفريغ المستخدمة لتفريغ المنظومة   | (3-3)        |
| 52     | جهاز بيراني المستخدم لقياس الضغط   | (4-3)        |
| 53     | الصمام الابري  | (5-3)        |
| 54     | انبوبة تفريغ من الزجاج الباركس   | (6-3)        |
| 54     | شفاه ربط   | (7-3)        |
| 55     | الاقطاب الكهربائية   | (8-3)        |
| 56     | شكل ومخطط مجهر القدرة  | (9-3)        |
| 57     | المحلل الطيفي للانبعاث البصري (OES)  | (10-3)       |
|        | النتائج والمناقشة  | الفصل الرابع |
| 60     | منحنيات باشن كدالة لتغير القطر لتفريغ غاز النتروجين باستخدام الكاثود الاسطواناني بقطر (6&3) cm عند مسافه فاصله 4cm بين الاقطاب | (1-4)        |
| 61     | منحنيات باشن كدالة لتغير القطر لتفريغ غاز النتروجين باستخدام الكاثود المخروطي بقطر (6&3) cm . عند مسافه فاصله 4cm بين الاقطاب  | (2-4)        |
| 61     | منحنيات باشن كدالة لتغير القطر لتفريغ غاز النتروجين باستخدام الكاثود القمعي بقطر (2&1cm) . عند مسافه فاصله (4cm) بين الاقطاب   | (3-4)        |

|    |   |        |
|----|---|--------|
| 62 | صور التوهج عند ضغوط وأشكال هندسيه مختلفة  | (4-4)  |
| 65 | منحنيات فولتية- تيار ( باستخدام كاثود اسطواني مجوف<br>بقطر 6cm و على بعد 2cm )              | (5-4a) |
| 65 | منحنيات فولتية- تيار ( باستخدام كاثود اسطواني مجوف<br>بقطر 6cm و على بعد 4cm )              | (5-4b) |
| 65 | منحنيات فولتية- تيار ( باستخدام كاثود اسطواني مجوف<br>بقطر 6cm و على بعد 8 cm )             | (5-4c) |
| 65 | منحنيات فولتية- تيار باستخدام كاثود اسطواني مجوف<br>بقطر 6cm و على بعد 12cm                 | (5-4d) |
| 66 | منحنيات فولتية- تيار ( باستخدام كاثود اسطواني مجوف<br>بقطر 3cm و على بعد 2cm )              | (6-4a) |
| 66 | منحنيات فولتية- تيار ( باستخدام كاثود اسطواني مجوف<br>بقطر 3cm و على بعد 4cm )              | (6-4b) |
| 66 | منحنيات فولتية- تيار ( باستخدام كاثود اسطواني مجوف<br>بقطر 3cm و على بعد 8cm )              | (6-4c) |
| 66 | منحنيات فولتية- تيار ( باستخدام كاثود اسطواني مجوف<br>بقطر 3cm و على بعد 12cm )             | (6-4d) |
| 67 | منحنيات فولتية- تيار ( باستخدام كاثود مخروطي مجوف<br>بقطر 6cm و على بعد 2cm )               | (7-4a) |
| 67 | منحنيات فولتية- تيار ( باستخدام كاثود مخروطي مجوف<br>بقطر 6cm و على بعد 4cm )               | (7-4b) |
| 67 | منحنيات فولتية- تيار ( باستخدام كاثود مخروطي مجوف<br>بقطر 6cm و على بعد 8cm عند ضغوط متغيره | (7-4c) |
| 67 | منحنيات فولتية- تيار باستخدام كاثود مخروطي مجوف<br>بقطر 6cm و على بعد 12cm )                | (7-4d) |
| 68 | منحنيات فولتية- تيار ( باستخدام كاثود مخروطي مجوف<br>بقطر 3cm و على بعد 2cm )               | (8-4a) |
| 68 | منحنيات فولتية- تيار ( باستخدام كاثود مخروطي مجوف<br>بقطر 3cm و على بعد 4cm )               | (8-4b) |
| 68 | منحنيات فولتية- تيار ( باستخدام كاثود مخروطي مجوف<br>بقطر 3cm و على بعد 8cm عند ضغوط متغيره | (8-4c) |
| 68 | منحنيات فولتية- تيار باستخدام كاثود مخروطي مجوف<br>بقطر 3cm و على بعد 12cm )                | (8-4d) |
| 69 | منحنيات فولتية- تيار ( باستخدام كاثود قمعي مجوف<br>بقطر 2cm و على بعد 2cm )                 | (9-4a) |
| 69 | منحنيات فولتية- تيار ( باستخدام كاثود قمعي مجوف<br>بقطر 2cm و على بعد 4cm )                 | (9-4b) |
| 69 | منحنيات فولتية- تيار ( باستخدام كاثود قمعي مجوف<br>بقطر 2cm و على بعد 8cm )                 | (9-4c) |

|    |  |         |
|----|--|---------|
| 69 | منحنيات فولتية- تيار (باستخدام كاثود قمعي مجوف بقطر 2cm و على بعد 12cm )   | (9-4d)  |
| 70 | منحنيات فولتية- تيار (باستخدام كاثود قمعي مجوف بقطر 1cm و على بعد 2cm )  | (10-4a) |
| 70 | منحنيات فولتية- تيار ( باستخدام كاثود قمعي مجوف بقطر 1cm و على بعد 4cm )   | (10-4b) |
| 70 | منحنيات فولتية- تيار (باستخدام كاثود قمعي مجوف بقطر 1cm و على بعد 8cm )  | (10-4c) |
| 70 | منحنيات فولتية- تيار (باستخدام كاثود قمعي مجوف بقطر 1cm و على بعد 12cm )   | (10-4d) |
| 72 | يمثل طيف الانبعاثات في بلازما النتروجين عند ضغط 0.46 torr لفولتية مختلفة   | (11-4)  |
| 73 | يمثل تغير كل من ( $T_e$ ) و ( $n_e$ ) مع زيادة الفولتية المسلطة بثبوت الضغط عند استخدام الكاثود الاسطواني المجوف بقطر (6 & 3 cm) | (12-4)  |
| 74 | يمثل تغير كل من ( $T_e$ ) و ( $n_e$ ) مع زيادة الفولتية المسلطة بثبوت الضغط عند استخدام الكاثود المخروطي المجوف بقطر (6 & 3 cm)  | (13-4)  |
| 75 | يمثل تغير كل من ( $T_e$ ) و ( $n_e$ ) مع زيادة الفولتية المسلطة بثبوت الضغط عند استخدام الكاثود القمعي المجوف بقطر (2 & 1 cm)    | (14-4)  |
| 76 | يمثل تغير كل من ( $T_e$ ) و ( $n_e$ ) كدالة للضغط، مع تغير الشكل الهندسي   | (15-4)  |



## قائمة الجداول

| رقم الصفحة | عنوان الجدول   | رقم الجدول   |
|------------|--|--------------|
|            | المقدمة  | الفصل الاول  |
| 4          | يمثل انواع البلازما                                    | (1-1)        |
| 14         | الخصائص العامة للألمنيوم                               | (2-1)        |
|            | المقدمة  | الفصل الثاني |
| 25         | ثوابت التأين المحدد ونطاقات التطبيق<br>$T=20$<br>$C^0$ | (1-2)        |

## قائمة المختصرات

| المختصر | المعنى  |
|---------|---|
| L.T.E   | Local thermal equilibrium (التوازن الحراري الموضعي)             |
| HCD     | Hollow cathode discharge (تفريغ الكاثود المجوف)                 |
| UV      | Ultraviolet (فوق البنفسجية)                                     |
| VUV     | Vacuum- Ultraviolet (فراغ الأشعة فوق البنفسجية)                 |
| CR      | Conventional radiometric (الاشعاعي الاصطلاحي)                   |
| OES     | Optical Emission Spectroscopy (مطياف الانبعاث البصري)           |
| EDF     | Electron distribution function (دالة توزيع الالكترون)           |
| ICCD    | intensified charge coupled device (جهاز اقتران الشحنات المكثفة) |

## قائمة الرموز

| وحدة القياس        | المعنى   | الرمز                           |
|--------------------|--|---------------------------------|
| -                  | ثوابت وقيم للغازات المختلفة  | A ,b                            |
| s <sup>-1</sup>    | احتمالية الانتقال للخطين الطيفيين                                      | A <sub>2</sub> ،A <sub>1</sub>  |
| m                  | المسافة او طول سقوط الكاثود  | d                               |
| m                  | المسافة التي تقطعها الالكترونات  | d <sub>n</sub>                  |
| m                  | سمك غشاء البلازما  | d <sub>s</sub>                  |
| m                  | المسافة التي تقطعها الالكترونات  | d <sub>n</sub>                  |
| -                  | معاملات الفوتون في الفضاء المظلم                                       | D <sub>p</sub>                  |
| -                  | معاملات متبدلة الاستقرار في الفضاء المظلم                              | D <sub>m</sub>                  |
| V/m                | شدة المجال الكهربائي   | E                               |
| -                  | عوامل هندسية (أي كسور الفوتونات التي تضرب الكاثود)                     | f <sub>d</sub> , f <sub>g</sub> |
| -                  | الأوزان الإحصائية للخطين الطيفيين                                      | g <sub>1</sub> ,g <sub>2</sub>  |
| J.s                | ثابت بلانك   | h                               |
| Counts             | هي شدة الخطين الطيفيين   | I <sub>2</sub> و I <sub>1</sub> |
| Amp                | التيار الابتدائي   | i <sub>o</sub>                  |
| Amp/m <sup>2</sup> | كثافة التيار الايوني   | j <sup>+</sup>                  |
| Amp/m <sup>2</sup> | كثافة التيار الالكتروني  | j <sup>e</sup>                  |
| J/k                | ثابت بولتزمان  | k <sub>B</sub>                  |
| gm                 | كتلة الايون  | m                               |
| -                  | عدد الجسيمات في مجال ديبياي  | N <sub>D</sub>                  |
| -                  | عدد الالكترونات  | n                               |
| -                  | عدد الالكترونات الأولية  | n <sub>o</sub>                  |
| -                  | هي اعداد من الفوتونات النشطة التي أنشأها كل إلكترون يدخل الفضاء المظلم | n <sub>p</sub> <sup>d</sup>     |
| -                  | هي اعداد من الفوتونات النشطة التي أنشأها كل إلكترون يدخل التوهج السلبي | n <sub>p</sub> <sup>g</sup>     |
| -                  | عدد الذرات المستقرة التي انشأتها الإلكترونات في الفضاء المظلم          | n <sub>m</sub> <sup>d</sup>     |
| -                  | عدد الذرات المستقرة التي انشأتها الإلكترونات في منطقة التوهج السالب    | n <sub>m</sub> <sup>g</sup>     |
| Torr               | الضغط المسلط   | p                               |
| k                  | درجة حرارة الالكترون   | T <sub>e</sub>                  |
| k                  | درجة حرارة الايونات  | T <sub>i</sub>                  |
| k                  | درجة حرارة الذرات(الغاز)   | T <sub>g</sub>                  |
| Volt               | جهد الانهيار   | V <sub>b</sub>                  |
| Volt               | جهد البلازما   | V <sub>p</sub>                  |
| Volt               | طاقة الالكترون السريع  | V <sub>e</sub>                  |
| m/s                | سرعة الانجراف الايوني  | v <sup>+</sup>                  |

|                  |  |                        |
|------------------|--|------------------------|
| m/s              | سرعة الانجراف الالكتروني   | $v_e$                  |
| m/s              | سرعة الانجراف للجسيم   | $v_{d,i}$              |
| m                | الازاحة  | x                      |
| -                | معامل التأين الاول لتاونسند  | $\alpha$               |
| -                | معامل التأين الثاني لتاونسند   | $\gamma$               |
| -                | كفاءة انبعاث الالكترون الثانوي من سطح الكاثود لتأثير الفوتون         | $\gamma_p$             |
| -                | كفاءة انبعاث الالكترون الثانوي من سطح الكاثود لتأثير الذرات المستقرة | $\gamma_m$             |
| F/m              | سماحية الفراغ  | $\epsilon_0$           |
| -                | الفعالية   | $\eta$                 |
| -                | عدد الكميات النشطة لكل فولت  | $\eta_p$               |
| nm               | متوسط المسار الحر  | $\lambda_m$            |
| nm               | الطول الموجي للخطين الطيفيين   | $\lambda_1, \lambda_2$ |
| -                | قابلية حركة الجسيمات   | $\mu_i$                |
| cm <sup>-3</sup> | كثافة ايونات الفضاء  | $\rho^+$               |
| cm <sup>-3</sup> | كثافة الكترولونات الفضاء   | $\rho^e$               |
| sec              | متوسط الوقت بين الاصطدامات مع الذرات                                 | $\tau$                 |
| rad/s            | تردد البلازما  | $\omega_{pe}$          |
| cm <sup>-2</sup> | هو المقطع العرضي للتصادم   | $\sigma_c$             |
|                  |  |                        |
|                  |  |                        |



## Abstract

A Vacuum system has been designed and constructed and it's works with direct current (DC) to generate plasma for Nitrogen gas. We used a cylindrical chamber made from Pyrex glass with 30cm length and 10cm diameter.

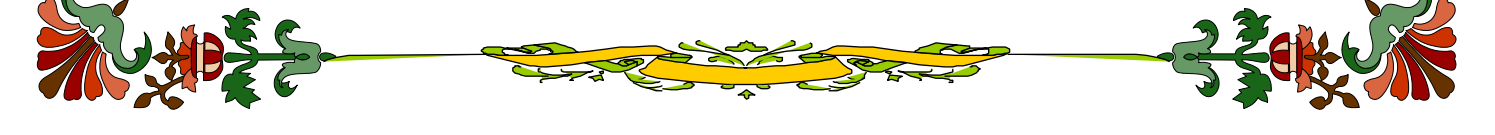
We used an Aluminum electrodes to get an electrical discharge, the Anode was shaped like a flat disk with diameter 8.8cm, whereas the Cathode has been designed like geometrical hollow shapes (Cylindrical, Cone, funnel), with variable dimensions.

Nitrogen breakdown has measured and for different dimension and for Variable latitude of pressure between (0.065-0.76) torr, the best distance between electrodes was determined  $d=4\text{cm}$ , which has been specified to be suitable for depositing thin films. We noticed that there is a change in breakdown voltage with the change of cathode shape. Breakdown voltage by using cylindrical hollow cathode with inner diameter (6, 3) cm are equal to (250, 239) volt, respectively at ( $P_{d_{\min}}=0.754, 0.695$  torr.cm). The breakdown voltage by using conical hollow cathode with inner diameter (6, 3) cm are equal to (237, 221) volt, respectively at ( $P_{d_{\min}}=0.676, 0.642$  torr.cm). While the value (223, 202) volt, respectively at ( $P_{d_{\min}}=0.676, 0.631$  torr.cm) by using the repressive hollow cathode with liner diameter (2&1) cm. The results proved the hollow diameter decrease when its length fixed leads to decrease gas breakdown voltage.

We have studied the properties of vacuum curve (I-V) the results shows that the (Amp-Volt) are different due to different geometric shape of cathode. The decrease of hollow diameter when length fixed will increase plasma conductivity which lessen resistance

We used an optical emission spectrometer (OES) to study the plasma properties (electron temperature, electrons density), the results shows that the temperature and electrons density of nitrogen Plasma increases with increased subjected voltage for all cathode shape, the electrons density has been indicated with values ( $1 \times 10^{17}$ - $9 \times 10^{17}$ )  $\text{cm}^{-3}$  and electrons temperature in range (0.8-1.3) eV.

We noticed that by using the spectrum analysis of light emission and through emitted ray intensity, the electrons temperature decreases and electron density increases with gas pressure.





**Ministry of Higher  
Education  
& Scientific Research  
University of Al-Qadisiyah  
College of Education  
Department of physics**



**Study of the effect of the geometric shape of the cathode electrode on  
the properties of glowing discharge plasma**

A thesis

Submitted to the Council of the College of Education, University of  
Al-Qadisiyah

In partial Fulfillment of the Requirements for the Degree of Master of Science in  
Physics

By

**Wessam Mahmood Taher**

B. Sc. Physics (2000)

College of Education \ University of Bagdad

Supervised by

**Dr. Abdulhussain A. Khadayeir**

2018 A.D

1440 A.H